

# Eusozialität und Schwarmrobotik

---

Alexander Kraft  
Johannes Steiner  
Petra Schöner  
Jana Stein

February 6, 2013

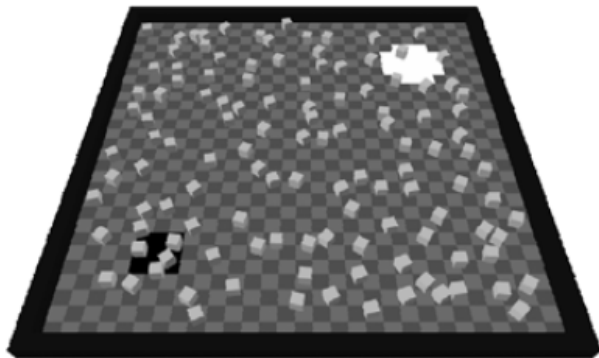
# Trophallaxis



- Auffüllen des Nektarspeichers
- Bewegung in Richtung Bienenstock
- Verbrauch
- trophallaktischer Kontakt
- Abgabe des Nektars im Bienenstock
- → Entstehung eines Gradienten

## Schmickl & Crailsheim

- dirt und dump area
- Ziel: Direkter Transport von dirt zur dump-area



- Jeder Roboter: 2 *virtuelle* Nektarspeicher  $\rightarrow$  2 Gradienten

# Gradient

$$v_{n,i}(t+1) = v_{n,i}(t) - c_{n,i}(t) - t_{n,i,j}(t) + a_{n,i}(t)$$

$$c_{n,i}(t) = v_{n,i}(t)r_{c,n}$$

$$t_{n,i,j} = \frac{(v_{n,i}(t) - v_{n,j}(t)) \cdot r_{t,n}}{N}$$

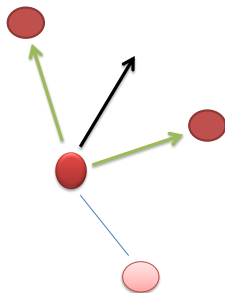
$$a_{n,i}(t) = \begin{cases} r_{a,n}, & \text{wenn } n = 1 \text{ und Robot } i \text{ auf dirt-area } \textit{oder} \\ & \text{wenn } n = 2 \text{ und Robot } i \text{ auf dump-area} \\ 0, & \text{sonst} \end{cases}$$

# Bewegungsmodell

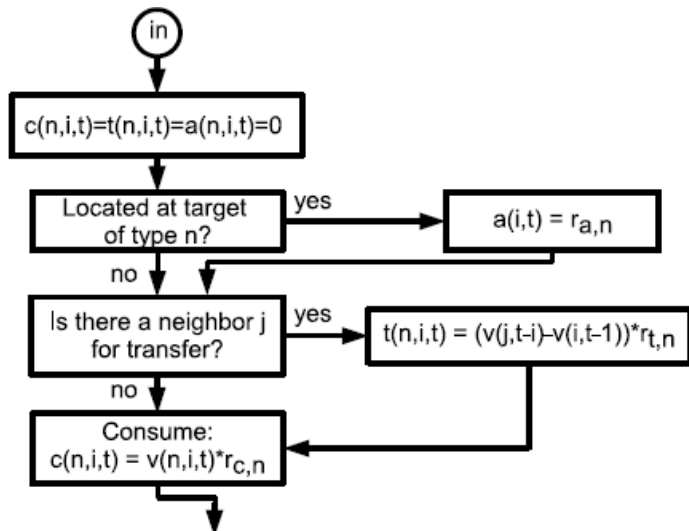
$$x(t + 1) = x(t) + v_0 \cos(\varphi(t, X))$$

$$y(t + 1) = y(t) + v_0 \sin(\varphi(t, X))$$

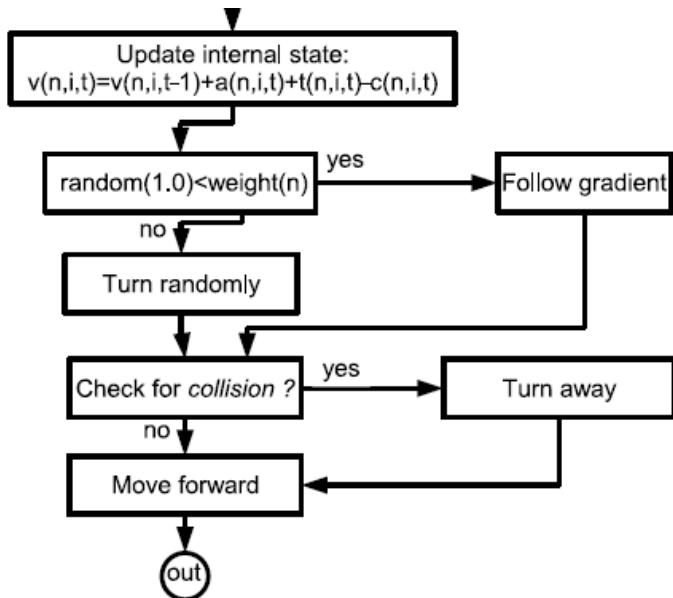
- Wahl von  $\varphi$



## Ablauf: Interaktion



## Ablauf: Bewegung

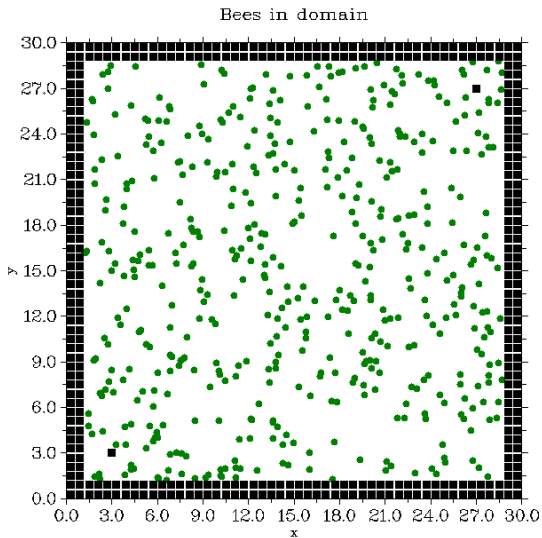


## Neuerungen im Vergleich zur Zwischenpräsentation

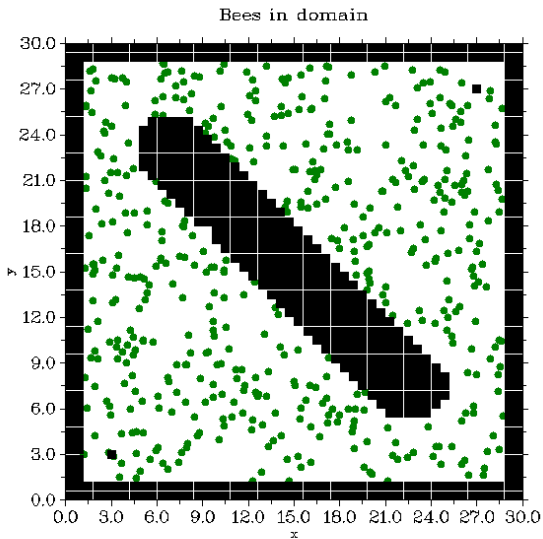
- Erweiterung um Hindernisse
- beliebige Hindernisse aus Datei ladbar
- Visualisierung: kumulierte Pfaddichten
- Visualisierung: Nektar-Variablen  $\nu_1, \nu_2$



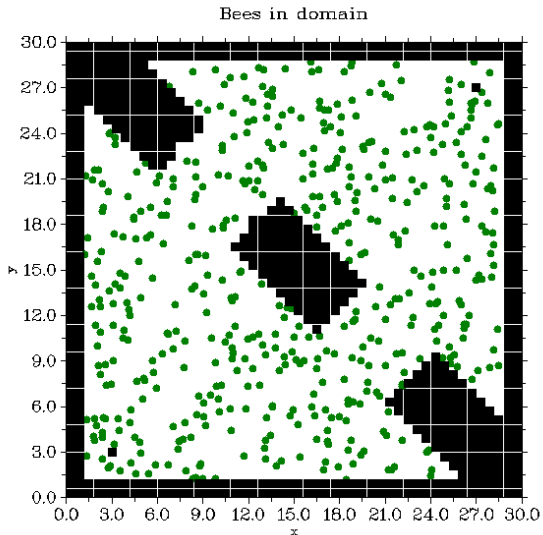
## Szenario: äußere Wand



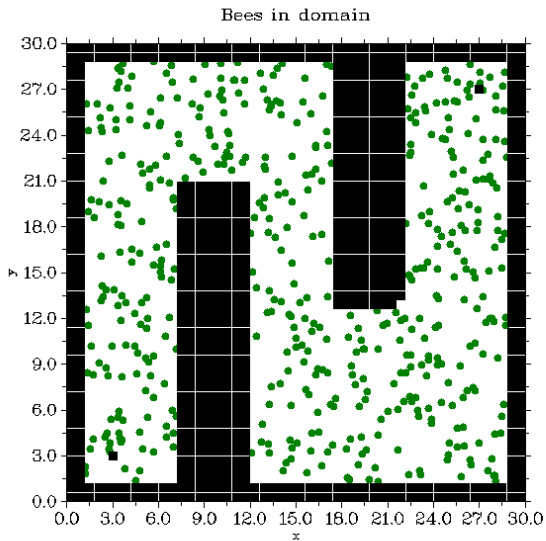
## Szenario: Diagonale Wand



## Szenario: 2 Gates



## Szenario: Labyrinth



# Input-to-State Stabilität

Dynamische Systeme mit Input

$$\dot{v} = f(v, u) \quad \|u\|_{\infty} \leq \rho$$

# Input-to-State Stabilität

Dynamische Systeme mit Input

$$\dot{v} = f(v, u) \quad \|u\|_\infty \leq 0$$

<b>ISS-Stabilität</b> $\ v(t)\  \leq \eta(\ v_0\ , t) + \gamma \left( \sup_{0 \leq \tau \leq t} \ u(\tau)\  \right)$
----------------------------------------------------------------------------------------------------------------------

## Linearer Fall

$$\dot{v}(t) = Av(t) + Bu(t)$$

# Input-to-State Stabilität

## Linearer Fall

$$\dot{v}(t) = Av(t) + Bu(t)$$

Mit einem asymptotisch stabilen  $A \in \mathbb{R}^{n \times m}$  gilt:

$$\|v(t)\| \leq e^{-\gamma t} \|v_0\| + \|B\| \frac{\gamma}{\beta} \sup_{0 \leq \tau \leq t} \|u(\tau)\|$$



## Beispiel

$$\dot{v}_1 = -r_c v_1 - r_t(v_1 - v_2) + r_a(t)$$

$$\dot{v}_2 = -r_c v_2 - r_t(v_2 - v_1) + r_a(t)$$

## Beispiel

$$\dot{v}_1 = -r_c v_1 - r_t(v_1 - v_2) + r_a(t)$$

$$\dot{v}_2 = -r_c v_2 - r_t(v_2 - v_1) + r_a(t)$$

$$\dot{\vec{v}} = \begin{pmatrix} -(r_c + r_t) & r_t \\ r_t & -(r_c + r_t) \end{pmatrix} \begin{pmatrix} v_1 \\ v_2 \end{pmatrix} + \begin{pmatrix} r_a(t) \\ r_a(t) \end{pmatrix}$$

## Beispiel

$$A = \begin{pmatrix} -(r_c + r_t) & r_t \\ r_t & -(r_c + r_t) \end{pmatrix}$$

## Beispiel

$$A = \begin{pmatrix} -(r_c + r_t) & r_t \\ r_t & -(r_c + r_t) \end{pmatrix}$$

A ist asymptotisch stabil  $\leftrightarrow$  A hat nur negative Eigenwerte

## Beispiel

$$A = \begin{pmatrix} -(r_c + r_t) & r_t \\ r_t & -(r_c + r_t) \end{pmatrix}$$

A ist asymptotisch stabil  $\leftrightarrow$  A hat nur negative Eigenwerte

$$p(\lambda) = \lambda^2 - \text{Spur}(A) \lambda + \det(A)$$

## Beispiel

$$A = \begin{pmatrix} -(r_c + r_t) & r_t \\ r_t & -(r_c + r_t) \end{pmatrix}$$

A ist asymptotisch stabil  $\leftrightarrow$  A hat nur negative Eigenwerte

$$\begin{aligned} p(\lambda) &= \lambda^2 - \text{Spur}(A) \lambda + \det(A) \\ &= \lambda^2 + 2(r_c + r_t)\lambda + r_c^2 + 2r_c r_t \end{aligned}$$

## Beispiel

$$A = \begin{pmatrix} -(r_c + r_t) & r_t \\ r_t & -(r_c + r_t) \end{pmatrix}$$

A ist asymptotisch stabil  $\leftrightarrow$  A hat nur negative Eigenwerte

$$\begin{aligned} p(\lambda) &= \lambda^2 - \text{Spur}(A)\lambda + \det(A) \\ &= \lambda^2 + 2(r_c + r_t)\lambda + r_c^2 + 2r_cr_t \end{aligned}$$

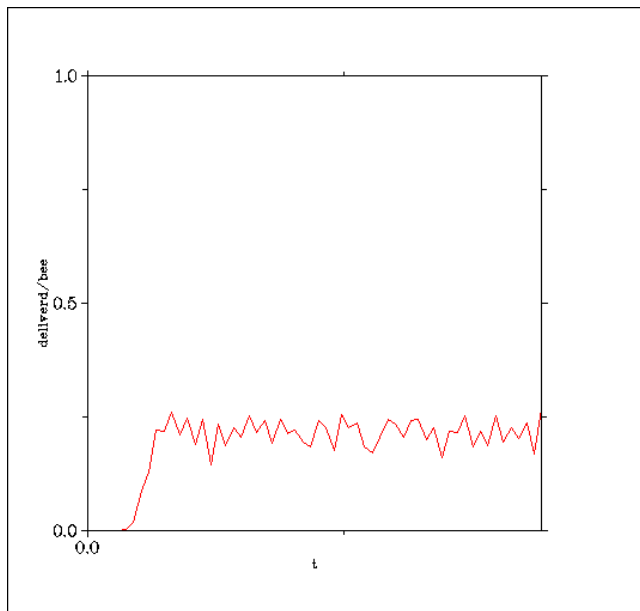
$$\rightarrow \lambda_1 = -r_c < 0$$

$$\lambda_2 = -r_c - 2r_t < 0$$

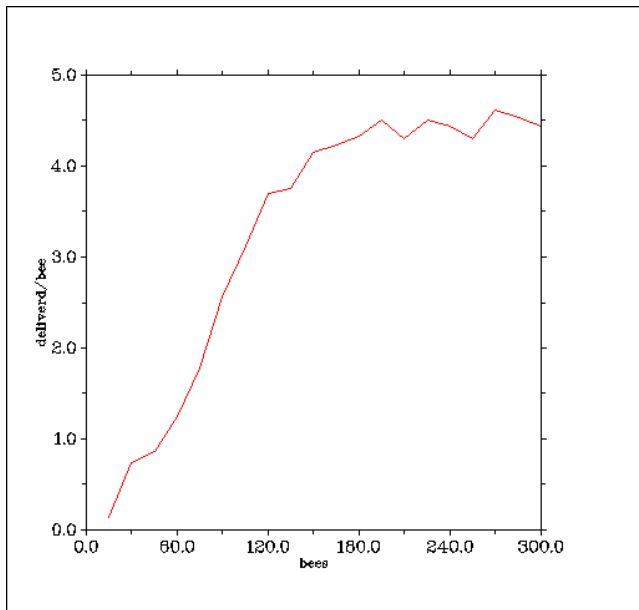
## **Vermessung des Systems**



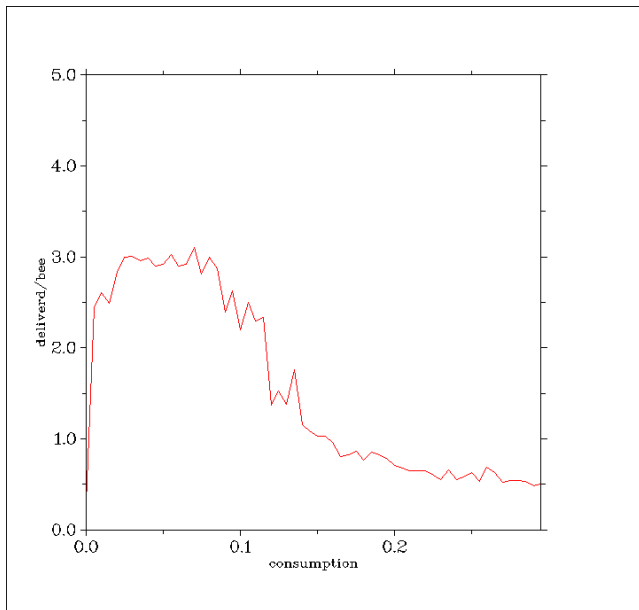
# Vermessung des Systems



## Vermessung des Systems



# Vermessung des Systems



- Parameteroptimierung durch evolutionäre Algorithmen
- Trophallaxis in 3D
- Optimalitätskriterien in Abhängigkeit von Gebietsgröße, Anzahl Agenten,...
- Quantitative Vermessung
- ...

- *Trophallaxis within a robotic swarm: bio-inspired communication among robots in a swarm*, T. Schmickl, K. Crailsheim, Springer 2007
- *Konstruktion und Simulation eines mathematischen Rahmenmodells biologischer Kommunikation mittels dynamischer Systeme*, Markus Knappitsch, Bonn 2010